

Задача 11-1

1. Край соленоида

1.1 Для бесконечного соленоида

$$B_{\infty} = \frac{\mu_0 IN}{2L} (\cos 0^0 + \cos 0^0) = \frac{\mu_0 IN}{L}$$

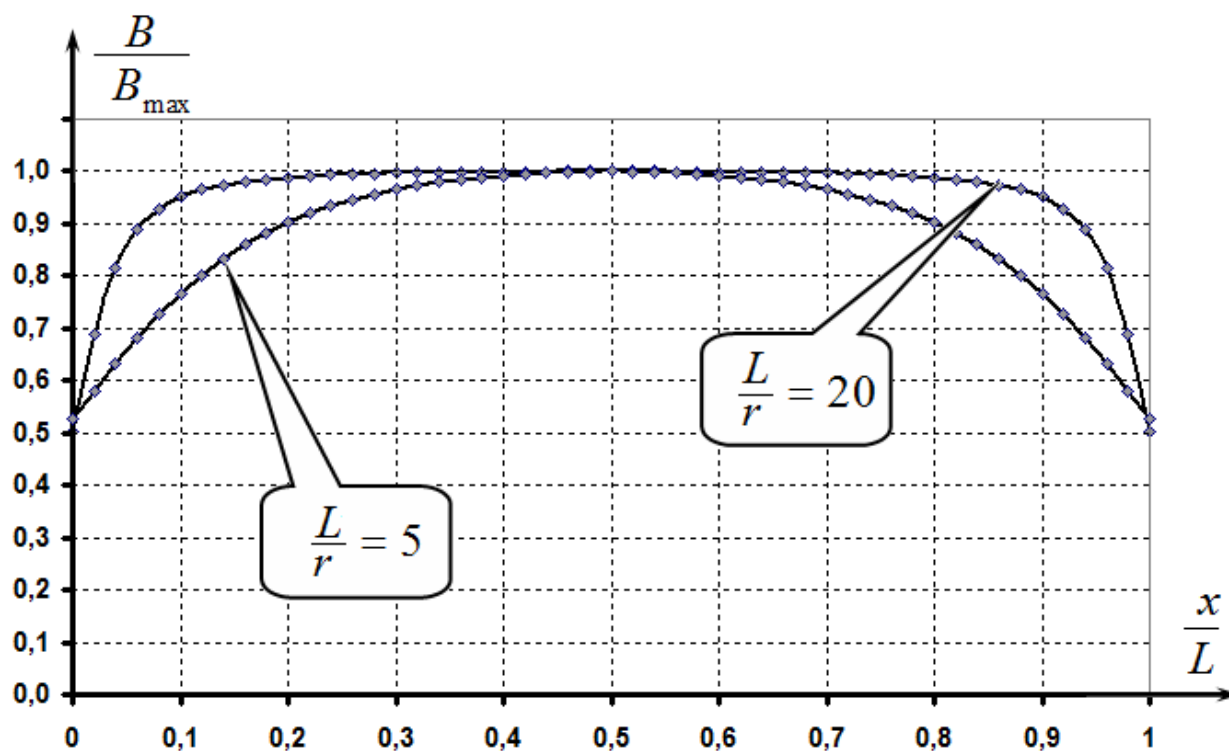
1.2 Для индукции в произвольной точке внутри соленоида

$$B_x = \frac{\mu_0 IN}{2L} \left(\frac{x}{\sqrt{x^2 + r^2}} + \frac{L-x}{\sqrt{(L-x)^2 + r^2}} \right)$$

На рисунке показан график этой функции (от учеников его построение не требуется).

Видно, что при увеличении отношения длины к радиусу соленоида влияние его краев на поле уменьшается. Можно сказать, что краевые эффекты распространяются на глубину порядка диаметра соленоида.

Индукция магнитного поля на краю соленоида равна:



$$B_0 = B_L = \frac{\mu_0 IN}{2L} \cdot \frac{L}{\sqrt{L^2 + r^2}} = \frac{\mu_0 IN}{2L\sqrt{1 + \frac{r^2}{L^2}}} \approx \frac{\mu_0 IN}{2L} \left(1 - \frac{1}{2} \cdot \frac{r^2}{L^2}\right) \approx \frac{\mu_0 IN}{2L} = \frac{1}{2} B_\infty$$

Индукция магнитного поля в центре соленоида ($\tilde{\sigma} = L/2$) равна:

$$\hat{A}_{L/2} = \frac{\mu_0 IN}{2L} \cdot 2 \frac{\frac{L}{2}}{\sqrt{\frac{L^2}{4} + r^2}} = \frac{\mu_0 IN}{L\sqrt{1 + \frac{4r^2}{L^2}}} \approx \frac{\mu_0 IN}{L} \left(1 - \frac{1}{2} \cdot \frac{4r^2}{L^2}\right) \approx \frac{\mu_0 IN}{L} = B_\infty$$

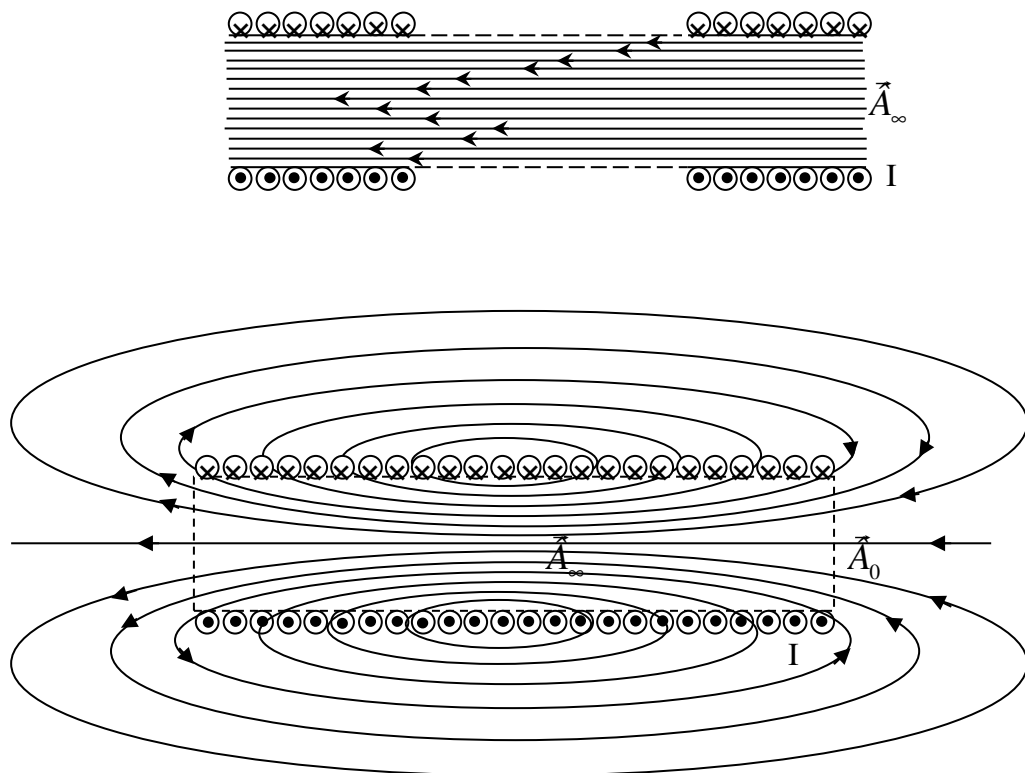
Индукция магнитного поля B_x вдоль оси соленоида конечной длины $L \gg r$ принимает

максимальное значения в центре соленоида $\hat{A}_{L/2} = \frac{\mu_0 IN}{L} = B_\infty = B_{x(\max)}$ и минимальное

значения на краях соленоида $B_0 = B_L = \frac{\mu_0 IN}{2L} = \frac{1}{2} B_\infty = B_{x(\min)}$

1.3 Если смотреть справа на соленоид, то направление тока совпадает с направлением вращения буравчика по часовой стрелке. Количество силовых линий магнитного поля K пропорционально модулю вектора магнитной индукции B ($K \propto B$). В центре соленоида $K_1=13$, на краю соленоида $K_2=7$.

При конечной длине соленоида начинают сказываться краевые эффекты: поле внутри соленоида перестает быть однородным, меняется радиальная B_r и осевая B_x составляющие магнитного поля.



2. Край стола

2.1 Из условия равновесия цепочки,

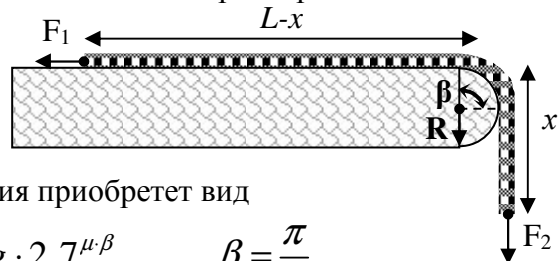
$$\frac{m}{L} x_1 g = \mu \frac{m}{L} (L - x_1) g$$

следует, что максимально возможная длина свисающей части цепочки равна

$$x_1 = \frac{L}{\frac{1}{\mu} + 1} = \frac{L}{2,57} \approx 0,39L$$

2.2 Так как $R \ll L$, то массой цепочки на изгибе стола можно пренебречь:

$$\Delta m = \frac{m}{L} R \frac{\pi}{2} \approx 0$$



Тогда условие равновесия с учетом силы трения приобретет вид

$$\frac{m}{L} x_2 g = \mu \frac{m}{L} (L - x_2) g \cdot 2,7^{\mu \cdot \beta}, \quad \text{где } \beta = \frac{\pi}{2}$$

Подстановка численных значений дает результат

$$x_2 = \frac{L}{\frac{1}{\mu 2,7^{\mu \cdot \beta}} + 1} = \frac{L}{\frac{\pi}{2 \cdot 2,7} + 1} = \frac{L}{1,582} \approx 0,63L$$

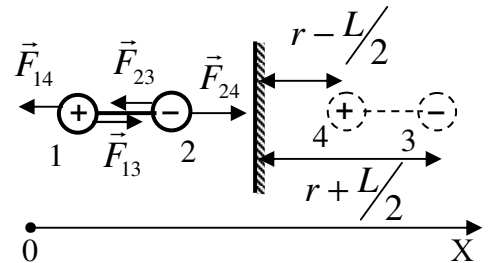
Учет действия края стола на цепочку увеличивает значение x более чем в полтора раза!

$$\frac{\tilde{o}_2}{\tilde{o}_1} \approx 1,63$$

3. «Край» электрического диполя

3.1 Для определения силы взаимодействия диполя с проводящей плоскостью воспользуемся методом электростатических изображений.

$$\vec{F}_{\perp} = \vec{F}_{13} + \vec{F}_{24} + \vec{F}_{14} + \vec{F}_{23}$$



$$F_{\perp} = kq^2 \left(-\frac{1}{4r^2} - \frac{1}{4r^2} + \frac{1}{4\left(r + \frac{L}{2}\right)^2} + \frac{1}{4\left(r - \frac{L}{2}\right)^2} \right) = \frac{kq^2}{4} \left(-\frac{2}{r^2} + \frac{2r^2 + \frac{L^2}{2}}{r^4 \left(1 - \frac{L^2}{4r^2}\right)^2} \right)$$

$$\left(1 - \frac{L^2}{4r^2}\right)^{-2} \approx 1 - (-2) \frac{L^2}{4r^2} = 1 + \frac{L^2}{2r^2}$$

Учтем формулу приближения:

$$F_{\perp} = \frac{kq^2}{4} \left(-\frac{2}{r^2} + \frac{\left(2r^2 + \frac{L^2}{2}\right) \left(1 + \frac{L^2}{2r^2}\right)}{r^4} \right) \approx \frac{3kq^2 L^2}{8r^4}$$

Учтено, что $\frac{L^4}{2r^2} \approx 0$, т. к. $L \gg r$. \vec{F}_{14}

3.2 Из симметрии задачи следует, что

$$F_{14} = F_{23} = k \frac{q^2}{L^2 + 4r^2}, \quad F_{13} = F_{24} = k \frac{q^2}{4r^2}$$

Сила взаимодействия диполя с проводящей плоскостью при параллельной ориентации равна:

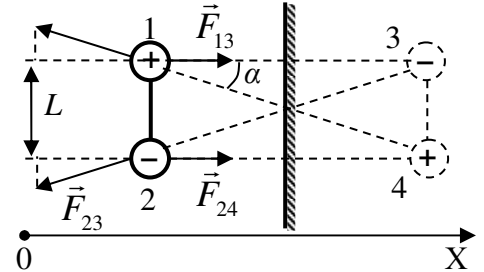
$$F_{\square} = 2F_{13} - 2F_{14} \cos \alpha$$

$$F_{\square} = 2kq^2 \left(\frac{1}{4r^2} - \frac{1}{L^2 + 4r^2} \cdot \frac{2r}{\sqrt{L^2 + 4r^2}} \right) = 2kq^2 \left(\frac{1}{4r^2} - \frac{2r}{8r^3 \left(1 + \frac{L^2}{4r^2}\right)^{3/2}} \right)$$

По формуле приближения $\left(1 + \frac{L^2}{4r^2}\right)^{-3/2} \approx 1 - \frac{3}{2} \cdot \frac{L^2}{4r^2}$

$$F_{\square} = 2kq^2 \left(\frac{1}{4r^2} - \frac{1}{4r^2} \left(1 - \frac{3}{2} \frac{L^2}{4r^2}\right) \right) = \frac{3kq^2 L^2}{4r^4}$$

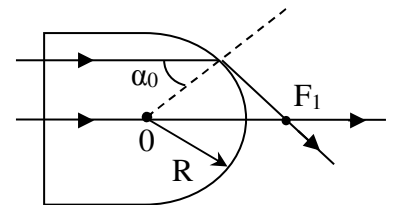
$$F_{\perp} = \frac{1}{2} F_{\square}$$



4. Край сферической линзы

4.1 Расстояние крайнего фокуса от центра сферической поверхности OF₁ для плосковыпуклой поверхности определим из условия полного внутреннего отражения.

$$\sin \alpha_0 = \frac{1}{n}, \quad OF_1 = \frac{R}{\cos \alpha_0} = \frac{R}{\sqrt{1 - \frac{1}{n^2}}} = \frac{Rn}{\sqrt{n^2 - 1}}$$



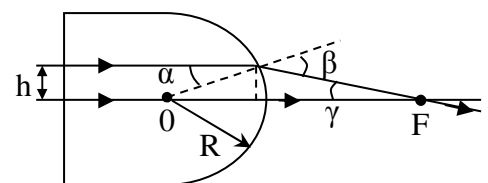
Расстояние параксиального фокуса от центра сферической поверхности OF для плосковыпуклой поверхности определим для очень узкого пучка лучей.

Для малых углов можно считать $\sin \theta \approx \tan \theta \approx \theta$

$$n\alpha = \beta \quad (1), \quad \frac{h}{R} = \alpha \quad (2), \quad \frac{h}{OF - R} = \gamma \quad (3), \quad \beta = \alpha + \gamma \quad (4)$$

Решая систему уравнений (1) – (4), получаем:

$$OF = \frac{Rn}{n-1}$$



$$\Delta F = Rn \left(\frac{1}{n-1} - \frac{1}{\sqrt{n^2-1}} \right)$$

4.2 Расстояние крайнего фокуса от центра сферической поверхности OF_1 для плосковогнутой поверхности определим из условия полного внутреннего отражения.

$$\sin \alpha_0 = \frac{1}{n}$$

$$OF_1 = \frac{R}{\operatorname{tg} \alpha_0} = \frac{R}{\sqrt{n^2-1}}$$

Расстояние параксиального фокуса от центра сферической поверхности OF для плосковогнутой поверхности определим для очень узкого пучка лучей.

Для малых углов можно считать $\sin \theta \approx \operatorname{tg} \theta \approx \theta$

$$n\alpha = \beta \quad (1), \quad \frac{h}{R} = \alpha \quad (2), \quad \frac{h}{OF-R} = \gamma \quad (3), \quad \beta = \alpha + \gamma \quad (4)$$

$$OF = \frac{Rn}{n-1}$$

Решая систему уравнений (1) – (4), получаем:

$$\Delta F' = R \left(\frac{n}{n-1} - \frac{1}{\sqrt{n^2-1}} \right)$$

4.3 Можно предложить несколько способов уменьшения сферической aberrации сферической поверхности линзы:

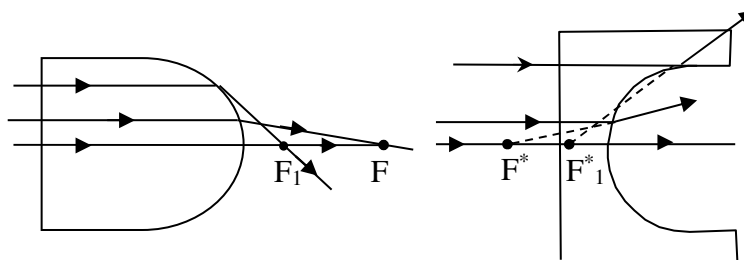
А) С увеличением показателя преломления материала линзы уменьшается ΔF .

$$\Delta F = Rn \left(\frac{1}{n-1} - \frac{1}{\sqrt{n^2-1}} \right) \quad \Delta F' = R \left(\frac{n}{n-1} - \frac{1}{\sqrt{n^2-1}} \right)$$

n	ΔF	ΔF^*
1,5	2R	2,41R
2	0,85R	1,42R

В) Уменьшение ширины пучка света приближает значение крайнего фокуса к параксиальному, что приводит к уменьшению значения ΔF . Ширину пучка света можно регулировать диафрагмой.

С) Можно заметить, что плосковыпуклая сферическая поверхность смещает крайний



фокус по ходу лучей, а плосковыпуклая поверхность смещает крайний фокус против хода лучей!